

道路ネットワークにおける交通量の配分のための動的モデル

東京大学 正員 内山文雄
東京大学 正員 中村英夫

1.はじめに

近年、都市内交通の円滑化や環境改善を目的として種々の交通規制策が検討され、現実にも例えばある時自転車の大聖車走行規制など、既存道路の交通流の量的、時間的な規制策が一部実施されている。

しかしながらこういった交通規制策のもたらす影響は規制対象地域及び規制対象時自転車のみならず、それによって他の時自転車や他の地域での交通流に変化を促かし、これらの地域や時自転車にも波及する。したがってこれら規制策のもたらす影響を予め計測しない限り、交通規制策の実施効果を議論することは意味がない。

このような場合、一般に用いられているのは従来の交通量配分モデルを基とする予測モデルである。しかしながら従来の配分モデルは主としてネットワーク上の各区域における一日平均の断面交通量を見い出すことを目的に作成されたもので、日々刻々変化する交通状況を再現することはできない。本研究で扱かようとする規制策の実施効果をみる場合、その効果はその時自転車のみで静的に考え得るものではなく、上述のように他の時自転車にも他の地域へも影響は波及するものであり、したがって動的に扱かい得るモデルを用いることが必要となる。

本研究ではこのような目的のため、各種交通規制策が及ぼす影響を追跡することが可能な時自転車を考慮に入れた配分モデル(Dynamic Assignment Model)を考案し、動的に変化するネットワーク内の各地域の通勤自動車台数、走行速度などの交通状況の時自転車変化を求めることによって交通規制策実施の効果を表現する方法を作り上げることを試みるものである。

このため本研究では、まずははじめに動的配分モデル(DAM)作成のための準備として従来より開発され提案されてきた配分モデルによる規制策実施の効果を予測する場合の問題点とその限界について簡単に述べる。次いでDAMの基本的な考え方、及びその内容について述べ、首都高速道路を適用例としてDAMの再現能力を検討し、一般道路への適用に際しての問題点などについて言及する。

2.既往の配分モデルによる規制策の実施効果の検討方法とその限界

既往の配分モデルは基本的にはネットワークの変更による断面交通量の変化をみようとするものであるが、リンクデータの操作によっては交通規制策の及ぼす影響もある程度知ることは可能である。従来の配分モデルの適用例からどのような交通規制策に対してどのような方法でそれのもたらす影響を見い出すのか表-1にまとめておくこととする。

このような操作によつて既往の配分モデルを用いてもさうまでは規制策の実施効果はある程度は表現することができると言えようが、配分結果として得られるリンクの特性値が表現できる内容にはみのむと限界がある。

例えば時自転車規制を検討する場合には、通常時間帯別に分割したOD表を用いるが、時自転車を細分化すればする程距離の近いODを距離の遠いODをその時自転車内には全てのトリップが完了したことになり現実的でなくなる。また反対に、時自転車の分割を細かくしなければ朝夕のピーク時などの短時間の交通流の導動を知

表-1 既往の配分モデルに於ける規制策との計算方法

| 規制策 | 方 法 |
|---------|---|
| 一方通行 | リンクの流れを一方通行に考え、規制対象道路を含むリンクに付けては一方通行の交通容量を与える。 |
| 流入規制 | 前的な流入規制に対しては、各地域内に存在する道路を規制対象リンクに含めない。一方のみの流入規制に対しては、一方通行と同様に考える。 |
| 車種別走行規制 | 車種別にネットワークを設定して、他車種の交通量を考慮して配分する。 |
| 走行時間規制 | 規制対象道路を規制時間内のみネットワークから除外し、時間帯別に分割したOD表を配分する。 |
| バイパスの建設 | 建設対象道路をネットワークに加えて配分する。 |
| 車道拡幅 | 拡幅対象道路を含むリンクの交通量を増す。容量制限式を用いる場合はそれを新たに作成する。 |
| 時差通勤 | 時間帯別に分割したOD表を作成しなめて配分する。 |

ることはできず、支帯や混雑を平均化した結果しか得ることができない。

すなはち定常的な走行状態を仮定でできる場合は既往の配分モデルに基づいて各種規制条件の及ぼす影響をかなりのところまで表現できると考えるが、どこで交通混雑が発生し、表帶が生成し伝播しているのかといった時に割り切れる交通状態を追跡しなければ各規制条件の実施効果を十分に表現することができないようだ。一つ時などの分析には既往のモデルを適用することはできない。このため本研究では時々割り切れる交通状態を追跡することを危険においていた配分モデルとしてDAMを提案する。

3. 動的配分モデル、Dynamic Assignment Model (DAM)

3.1 モデルの基本的な考え方

対象地域を道路網や信号を加えるべき交通規制策等を考慮して適当な大きさに分割し、この分割された区域をセクションと呼ぶことにする。

いま、時刻(t)と(t+Δt)の交通状態を考えて、時刻(t)において各セクション内に滞留している(各セクション内を走行している)自動車台数をストックとみれば、(t+Δt)の間に他のセクションに移動する自動車台数(断面交通量)をフローとみることができる。このとき各セクションからjセクションへ移動する交通量は、jセクションの滞留台数で表現される混雑状態に依存し、さらにjセクションの混雑状態にも影響されると考えられる。

フローとストックのこれら関係を表現するのに、システムダイナミクスで用いられる表記法を用いると、図-1に示されるように簡単に表現される。時刻(t)における各セクション内の滞留自動車台数はレベル変数で表わされ、これらのレベル変数はレイト変数を介して隣接するセクション間で連絡しており、レイト変数の値は時刻(t)から(t+Δt)までの間にセクション間で移動する交通量を示している。このレイト変数は、レベルからの情報と他の情報とから決定されることになる。こうして各セクションにおける各セクション内に滞留する自動車台数とそのセクションへ流入する自動車台数は、セクションごとに定まるレベル変数とレイト変数を考えることによって表現することができます。これをセクションモデルと呼びことにし、このよう「はモデルを対象地域全域の道路網全体について連結させ、ミュレーションを行なうことによって全てのセクションの交通状態の時間変動を追跡することができる。

3.2 セクションモデル

時刻(t+Δt)にセクションj内において走行する自動車の台数 $P_j^{t+\Delta t}$ は次式で表現することができます。

$$P_j^{t+\Delta t} = P_j^t + S_j^{t,t+\Delta t} + R_{ij}^{t,t+\Delta t} - R_{ji}^{t,t+\Delta t} - W_j^{t,t+\Delta t} \quad (1)$$

ここに、 P_j^t ; 時刻(t)においてセクションj内を走行している自動車台数

$S_j^{t,t+\Delta t}$; 時刻(t)から(t+Δt)の間にj内において新たに発生する交通量

$R_{ij}^{t,t+\Delta t}$; 時刻(t)から(t+Δt)の間にjと接続するセクションよりjに流入する交通量

$R_{ji}^{t,t+\Delta t}$; 時刻(t)から(t+Δt)の間にjよりjに連なるセクションをに流出する交通量

$W_j^{t,t+\Delta t}$; 時刻(t)から(t+Δt)の間にjに到着してトリップを完了する交通量

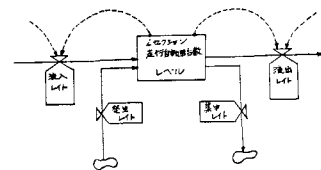
セクションjから流出する交通量 $R_{ji}^{t,t+\Delta t}$ は次の2つの条件により規定されると考える。

i) セクションjの走行密度 k_j^t 及び断面交通量 Q_j^t

これはセクションi内を走行する自動車台数 P_j^t とjの道路面積 r_j^t の商により表わされるjの自動車の走行密度 k_j^t 、及びj内の線形や信号機の数等の道路条件とに依存して表現される。道路の線形や信号機等の道路条件はセクションごとに一定であるのでこの Q_j^t は

$$Q_j^t = f_j^t (P_j^t / r_j^t) \quad (2)$$

図-1 セクションモデル



と表現できる。この係数形 f_j はセクション j の道路条件と既存道路の交通量、走行速度、走行密度の観測結果から見い出す。なみ上記 f_j は j セクションでの混雑の程度を表わしている。

ii) セクション j の自動車走行密度 K_j^t

これもセクション j の場合と同様セクション j を走行する自動車の台数と道路面積により表わされ、 j と同じくセクションでの混雑の程度を示す。

したがって

$$R_{j,t}^{t,t+at} = g(Q_j^t, K_j^t, K_k^t) \quad (3)$$

と表現される。これは K_j^t で表わされる j セクションでの混雑の状態に依存して来る流出乗数と、 K_k^t で表わされる k セクションでの混雑の状態に依存して来る流入乗数と Q_j^t の積で与えられ、それらの乗数はテーブル係数から設定される。

セクション j から走出する自動車の進行するセクションたるは一般に1つとは限らず、 k_1, k_2, \dots, k_m と数個であり、したがって断面交通量 Q_j^t はそれら各セクションに

$$Q_j^t = Q_{j,k_1}^t + Q_{j,k_2}^t + \dots + Q_{j,k_m}^t = (d_1 + d_2 + \dots + d_m) Q_j^t \quad (4)$$

と分配される。この配分率 d_i ($i=1, 2, \dots, m$) は j より目的地 D に向うとき、セクション k_1, k_2, \dots, k_m を経由したときの期待される所要時間と、進行先の各セクションにおける自動車密度 $K_{k_1}^t, K_{k_2}^t, \dots, K_{k_m}^t$ によって表わされる進行先の各セクションの通過のしにくさによって決定されるとする。期待所要時間として定常走行時における平均値を用いるとすればこれは定数となるので、配分率はたとえば

$$d_{ki} = h_i(K_{k_1}^t, K_{k_2}^t, \dots, K_{k_m}^t) \quad (5)$$

と表現され、従来より用いられている経路選択モデルを用いて計算される。

このように表わされるセクション j における交通状態のパラメータはそれぞれの目的地ごとに表わされ、これらを集めたものとして、例えば j 内を走行する全自動車台数は P_{oj} と表示され。

$$P_{oj}^t = P_{dj}^t + P_{ej}^t + \dots + P_{aj}^t \quad (6)$$

となる。なお添字 o は目的地全てについて合計するということを示す添字であり、このよう「意味から(2),(4),(5)式の P, Q, R, K 」には添字 o が付される。

これらの構造を図示したもののが図-2である。

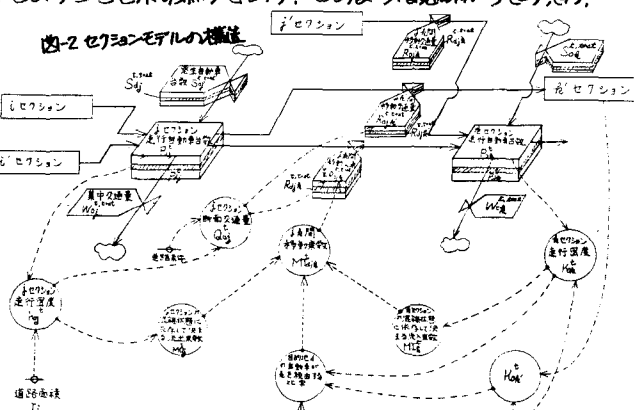
ネットワークにおける各セクションの結合状態はインシデンスマトリックスの形で表現され、このように構成されたネットワーク全体をシミュレーションすることによって、対象地域の交通状況の時間的な変動を追跡することができる。

4. 首都高速道路における適用

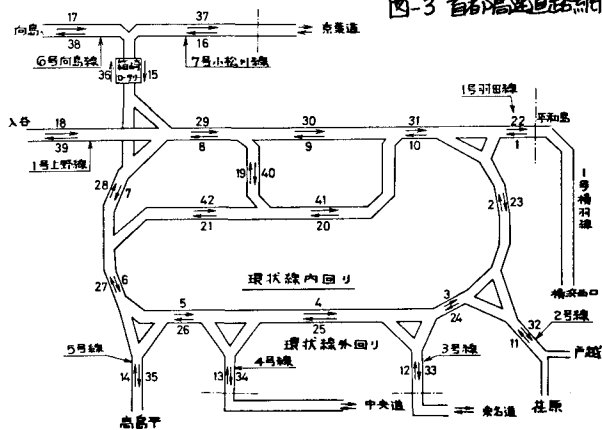
4.1 適用するネットワーク

前節でその基本的な考え方を提示したDAMを具体的にモデル化し、現実のネットワークに対してどの程度時間的に変動する交通状況を再現することができるのか検討するため、首都高速道路のネットワークを対象として配分計算を行なうこととする。

用いたデータは首都高速道路公团が昭和52年10月13日(木)から14日(金)にかけて行った起終点調査結果に基づいている。ODデータは首都高速道路の全料金所で配布した調査票を回収(回収率22.6%)して得られたものであり、入路-出路毎の1日OD交通量としてまとめられている。また同時に各入路及び料金所で交通量調査を行ない時間帯別(7:00~21:00は30分ごと、21:00~7:00は1時間ごと)及び車種別の通過台数を求めて



いる。さらに再現性の検討のためのデータとして首都高速道路公団が毎日定点で測定している車線別30分断面交通量、オキュパンシーあるいは平均走行速度を用いている。首都高速道路の道路網は図-3に示す。



通りであり、この図に示されるように、このネットワークを基本的には入出路を含まない分派点から合流点までと1つのセクションとして合計42のセクションから構成されるよう分割している。

4.2 モデルの定式化

首都高速道路におけるモデルの具体的構成を前掲図-2を用いて説明することにする。この図はj, tセクション間を時刻(t)から(t+Δt)の間に移動する交通量を中心構成されたフロー図であり、図中に記されている番号順にその定式化を行なうこととする。

(1) 時刻(t)におけるセクションjの走行自動車台数 P_{0j}^t

これは目的別別の走行自動車台数 P_{dj}^t ($d = d_1, d_2, \dots, d_m$)を合計したものであり、これがこのシミュレーションモデルの入力変数となる。

(2) jセクション走行速度 K_{0j}^t

$$K_{0j}^t = P_{0j}^t / r_j \quad (6)$$

ただし、 r_j はjセクションの道路長

(3) jセクション断面交通量 Q_{0j}^t

例えば図-4に示されるような首都高速道路の(2)
交通量、走行密度、走行速度の関係性に基づいて
この関係をBell Curve式に近似して用いている。

$$Q_{0j}^t = V_{0j} \times K_{0j}^t \times \exp\left[-\frac{1}{2}\left(\frac{K_{0j}^t}{K_{cij}}\right)^2\right] \quad (7)$$

ただし、 V_{0j} ; jセクションでの最高速度、 K_{cij} ;
最大断面交通量を与えるときの走行密度

また、目的別断面交通量 Q_{dj}^t は

$$Q_{dj}^t = \frac{P_{dj}^t}{P_{0j}^t} \times Q_{0j}^t \quad (8)$$

として得られる。

(4) 定常走行時目的別各セクション壁掛比率

B_{djk}

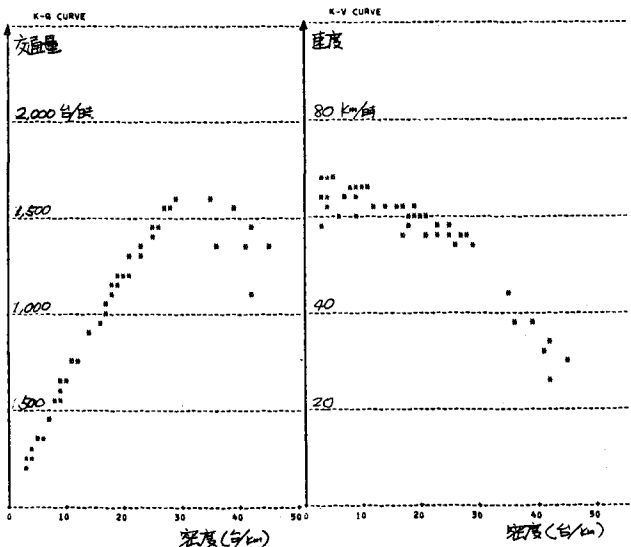
jセクションに連なるセクションがだらだと

すると、これはインシデンスマトリックスにより与えられる。目的地dに到着するのにdを経由する場合とdを経由する場合の距離の逆比で B_{djk} を求めており、定数として扱っている。すなはち、

$$B_{djk} = \frac{l_{djk'}}{l_{djk} + l_{djk'}} \quad (9)$$

ただし、 l_{djk} ; jからだを経由し dに至る最短距離、 $l_{djk'}$; jからだを経由し dに至る最短距離

図-4 交通量、密度、速度図



と表わされる。

(5) 目的地別セクション選擇比率 α_{djk}^t

時刻(t)におけるたどり所セクションと始セクションの走行速度 V_{dk}^t ($= Q_{dk}^t / K_{dk}^t$)、 V_{dk}^t の逆数として表わされる最適断面選択率によって α_{djk}^t が次のように修正される。

$$\alpha_{djk}^t = \frac{\beta_{djk}^t \times V_{dk}^t}{\beta_{djk}^t \times V_{dk}^t + \beta_{djk'}^t \times V_{dk'}^t} \quad (10)$$

(6) 流出乗数 MO_j^t

これは走行速度 K_{oj}^t を変数としたテーブル係数として与えられ、 $K_{oj}^t < K_j$ より小さい時、すなはち定常走行状態では $MO_j^t = 1.0$ 、 $K_{oj}^t > K_j$ のとき、すなはち混雑状態では $MO_j^t = Q_{mj}^t / Q_{oj}^t$ (Q_{mj} ; j セクションの最大断面交通量) となるように設定され、定常走行状態では Q_{oj}^t がそのままへ流出し、混雑状態では Q_{oj}^t ではなく Q_{mj} で流出しようとすることを意味する乗数である。

(7) 流入乗数 MI_k^t

これも流出乗数と同様 K_{ok}^t を変数としたテーブル係数として与えられ、 $K_{ok}^t \leq K_j$ のとき $MI_k^t = 1.0$ 、 $K_{ok}^t > K_j$ のとき $MI_k^t = Q_{ok}^t / Q_{kj}$ となるように設定されるもので、セクション内に定常走行していくには流入しようとする交通量がそのまま j から流入し、混雑状態では流入交通量が初期にされることを意味する乗数である。

(8) 移動交通量 $R_{djk}^{t,t+1}$

移動乗数 $MT_{djk}^{t,t+1}$ は

$$MT_{djk}^{t,t+1} = \alpha_{djk}^t \times MO_j^t \times MI_k^t \quad (11)$$

で示され、したがって目的地別の j 向け移動交通量 $R_{djk}^{t,t+1}$ 及び $R_{dk}^{t,t+1}$ は

$$R_{djk}^{t,t+1} = MT_{djk}^{t,t+1} \times Q_{dj}^t \quad (12)$$

$$R_{dk}^{t,t+1} = \sum_j R_{djk}^{t,t+1} \quad (13)$$

と表わされる。

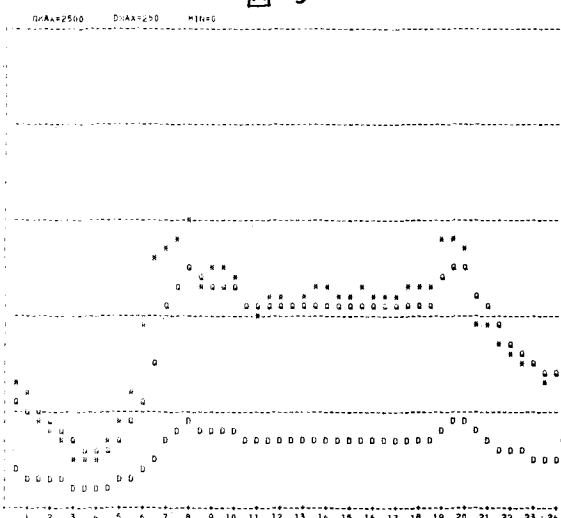
以上のような時刻(t)における各セクションの走行自動車台数に基づいて時刻(t)から($t+1$)の間に発生するセクション間を移動する交通量を求め、それにより時刻($t+1$)の各セクションの走行自動車台数を見い出すという手順を繰り返すことによって時々刻々変化する交通状況を知ることができます。

4.3 計算結果と再現性の検討

図-5

図-5、図-6は計算結果の例として時間间隔15分としてシミュレーションし、それを30分ごとに抽出された30分間の断面交通量の計算値及び断面交通量の計算値と走行速度の計算値、放射線上の16セクションと環状線外回りの25セクションについてプロットしたものである。途中のQ、Dはそれそれぞれ交通量、走行速度の計算値、*は交通量の測定値を示している。これによれば30分間の断面交通量の時間的変動をかなりのところまで追跡していると言え、この意味からその再現性はあると考えられる。

たゞ走行速度に関しては全体的に若干のばらつきが見られる。これは主として各セクション



での交通量、走行速度、走行密度の関係を前述のように Bell Curve で表現しており、その解に交通量と走行密度の関係を適合するように近似し、走行速度と走行密度の関係が必ずしもよく適合していなかったこと、また走行速度の測定結果がオキュパシーの測定値から車両数を仮定して計算により求めている場合が多いわけ多く、その誤差も多分に含まれていることなどがその理由として挙げられよう。

以上のようなことを考慮すると、ここで DAM による計算結果は一応ある程度の再現性を持つて交通流の時間的な変動を追跡していると言えよう。

5. 一般道路への適用上の注意点との考察

一般道路への DAM の適用に際しては、必ずし

ち高架橋直道路の場合のように時間別別の OD 交通量に関してのデータが十分にない、というわけではない。さらに一般道路では各セクションの交通の導動をリンク（線交通）としてではなく面交通として扱わねばならない。したがって DAM を一般道路へ適用し、各種の交通規制等の効果をみるに際しては、既存のデータから DAM で必要とするデータをいかにして作成するか、及びセクションモデルを具体的にどのように構成するかが求めで重要な問題となる。そのためここではこのような一般道路への適用上の注意点について検討し、どのようにしてシミュレーションを行なえばよいかについて考察することにする。

OD 交通量が単位時間ごとに測定されていることは比較的まれであり、したがってこれを得るためににはセクションごとの発生交通量の時間分布パターンが必要となる。この時間分布パターンについては例えば高架橋における各インターフェンシションの時間別交通量調査結果では 24 時間の

表-2 発生時間分布のパターンの例

| 時間帯別発生量のパターン | タイプ | 土地利用形態 |
|-----------------------------|-----------|-----------|
| 7~8 時の 1 山ビック | 直勤型 | 住宅・商業地帯 |
| 7~8, 10~12, 17~18 時の 3 山ビック | 直勤・業務・帰宅型 | 住宅・業務混在地帯 |
| 10~12, 17~18 時の 2 山ビック | 業務・帰宅型 | 業務地帯 |
| 17~23 時にはたらかね山ビック | 夜間発生型 | 商業営業地帯 |
| 10~12, 17~18, 23 時の 3 山ビック | 業務・夜間発生型 | 業務・商業混在地帯 |
| 昼間にたらかね山 | 昼間発生型 | 商業地帯 |

変動パターンがおよそ 6 つのタイプに分類できるとしている。このように調査結果と、各セクションの土地利用形態及び各セクションと都心部地域との地理的な関係から、表-2 に示されるよう

にいくつかに分類された時間分布パターンのどこに属するのかを検討し、これによって各セクションの時間別発生交通量をある程度推定することができると考える。

また一般道路でのセクションモデルを構成するに際しては次のようないくつかの点を配慮する必要があると考える。一般道路では既存の道路網を考慮してセクションに分割することになるが、このことは可能な限り都心に向うような形で扇形のセクションとなるようにする。そしてこの中を環状方向、放射方向の道路に分けて、ある程度以上の交通量を持つ道路をこの 2 分された道路にまとめてし、車両数を求めておく。さらに進行方向を環状内回り、外回り、放射線上り、下りの 4 方向とし、インシデンスマトリックスにこの進行方向を表現する要素を付け加えておく。セクション中央部に位置する交差点に関しては環状方向と放射方向の道路の走行自転車が互いにを二直進したり右左折する行為に影響を及ぼし、この影響をテーブル接数の形で進行方向別に表現できるようにしておく。このように形にセクションモデルを構成しなおすことによって、一般道路での交通状況の時間変動を知ることができると考える。

6. おまけ

DAMでは各セクションにおける走行自動車台数やセクション間で移動する交通量の時間的な変動を知ることができ、これを追跡することによって交通事故や交通渋滞の発生、及びその伝播を地域的、時間的に知ることができる。このように特徴を持つDAMは、既往の配分モデルでは構造が複雑であるために、その影響を十分に表現することのできないが、たゞに時間的に実験する交通渋滞の効果を表現できる点に価値を見出せる。このDAMが扱い得る効果は、基本的に従来の配分モデルにより検討されるものと併びの部分重複するが、その表現される効果の内容については全く異なるものである。

また首都高速道路ではDAMによる正確性がある程度保証されると考えられるものの、一般道路への適用に際しての困難点に関して十分に検討し得たとは言えず、またモデルがまだとしてそれを検証することがむずかしいなど、まだまた解決すべき点は残っている。したがって今後は実際の道路でのデータの蓄積とともに、こういった考え方に基づくモデルの検証を試みる。

参考文献

- 1) 首都高速道路公団計画部調査課：第14回首都高速道路交通起終点調査報告書、昭和53年3月。
- 2) 首都高速道路公団計画部調査課：任意観測、昭和53年10月13日0:00～昭和53年10月14日24:00。
- 3) 日本道路公团審議室：昭和52年度全国道路交通情勢調査報告書、昭和53年9月。